

基于 CUDA 的射电天文多相滤波器组设计*

托乎提努尔^{1,2}, 张海龙^{1,3}, 王 杰¹

(1. 中国科学院新疆天文台, 新疆 乌鲁木齐 830011; 2. 中国科学院大学, 北京 100049;

3. 中国科学院射电天文重点实验室, 江苏 南京 210008)

摘要: 采用图形处理器和最新的通用并行计算架构设计了射电天文多相滤波器组, 并对其性能指标进行了测试和分析。利用图形处理器强大的浮点数计算和高效并行执行能力实现了多相滤波器、快速傅里叶变换算法加速, 改善了多相滤波器组算法的执行效率。实验结果表明, 设计的多相滤波器组具有一定的灵活性和可扩展性, 能够实现射电信号的高速滤波及信道化, 可有效提高射电望远镜数字终端算法的并行数据处理能力和计算效率。

关键词: CUDA; 图形处理器; 多相滤波器组; 并行数据处理

中图分类号: P111.44 **文献标识码:** A **文章编号:** 1672-7673(2017)01-0117-07

基于中央处理器的多相滤波器组设计, 由于算法本身的复杂度和计算量, 导致仿真消耗时间长且执行效率低。借助图形处理器高效的并行执行能力与通用并行计算架构 (Compute Unified Device Architecture, CUDA)^[1] 的高性能并行架构, 能够有效地改善多相滤波器组算法在高速数据处理方面效率低下的问题。

通用并行计算架构是一种由 NVIDIA 公司开发的并行编程模型, 可加速图形处理器的高速并行处理、高效解决海量且逻辑简单的计算问题, 包含指令集架构以及图形处理器内部的并行计算引擎^[2]。图形处理器计算能力的迅速发展已超过摩尔定律^①, 目前主流图形处理器的单精度浮点处理能力和外部存储器带宽相对于中央处理器有明显的优势, 通用并行计算架构在编程、优化等方面都得到了显著的提升, 大大增强了图形处理器的通用计算能力。

随着并行处理技术的发展, 图形处理器已成了实时处理天文信号的首选。射电望远镜数字终端^[3]通过多相滤波器进行分通道、滤波并有效控制快速傅里叶变换产生的频谱泄露, 多相滤波器是数字滤波器组的一种高效实现形式^[4]。近年来, 多相滤波技术在射电望远镜终端设备开发中得到了广泛应用, 例如脉冲星终端、消色散系统、相关器及数字频谱仪等。图形处理器和通用并行计算架构技术为多通道射电天文多相滤波器组设计提供了一种高速实现的途径。

1 多相滤波器组原理

射电天文多相滤波器组主要由多个分解的有限长单位冲激响应 (Finite Impulse Response, FIR) 滤波器和快速傅里叶变换组成, 处理过程包含频谱转移、抽取、滤波、快速傅里叶变换等。分解的有限长单位冲激响应滤波器跟其他数字滤波器相比有许多优点, 性能稳定, 可实现严格的线性相位和任意幅度^[5]。多相滤波器组的基本原理如图 1。

滤波器组中的多相分解将数字滤波器的冲击响应函数分解为多个不同的相位进行处理, 将复杂多

* 基金项目: 国家重点基础研究发展计划 (973 计划) (2015CB857100); 国家自然科学基金 (U1531125, 11503075); 中国科学院青年创新促进会; 中国科学院西部之光项目 (XBBS201325); 天文学科技领域云项目 (XXH12503-05-05) 资助。

收稿日期: 2016-03-31; 修订日期: 2016-04-24

作者简介: 托乎提努尔, 男, 博士. 研究方向: 天文数字终端技术. Email: nuer@xao.ac.cn

通讯作者: 张海龙, 男, 博士. 研究方向: 数据密集型研究. Email: zhanghailong@xao.ac.cn

① <http://docs.nvidia.com/cuda/cuda-c-programming-guide/#axzz4NhrMoSok>

阶的滤波器简化为多个低阶的滤波器，提高运算速率。

有限长单位冲激响应滤波器的转移函数表达式为

$$\begin{aligned} H(z) &= \sum_{n=0}^{N-1} h(n) z^{-n} \\ &= h(0) + h(1)z^{-1} + \cdots + h(N-1)z^{N-1}, \end{aligned} \quad (1)$$

其中， N 为滤波器长度。将 $H(z)$ 分解成 D 组，设 $N/D=Q$ ，且 Q 取整数，可以得到：

$$\begin{aligned} H(z) &= h(0)z^0 + h(D)z^{-D} + \cdots + h[(Q-1)D]z^{-(Q-1)D} \\ &= \sum_{n=0}^{Q-1} h(nD+0)(z^D)^{-n} + z^{-1} \sum_{n=0}^{Q-1} h(nD+1)(z^D)^{-n} + \cdots + z^{-(D-1)} \sum_{n=0}^{Q-1} h(nD+D-1)(z^D)^{-n}, \end{aligned} \quad (2)$$

令 $E_k(z^D) = \sum_{n=0}^{Q-1} h(nD+k)(z^D)^{-n}$ ， $k=0, 2, 3, \cdots, D-1$ ，则(2)式改写为

$$H(z) = \sum_{k=0}^{D-1} E_k(z^D) \cdot z^{-k}, \quad (3)$$

其中， $E_k(z^D)$ 表示 $H(z)$ 的多相分量。

采用离散傅里叶变换(Discrete Fourier Transform, DFT)对分解的有限长单位冲激响应滤波进行变换，获得输入信号的频谱响应。输入信号 $x(n)$ 的离散傅里叶变换如(4)式，产生频谱系数 $X(k)$ ，其中 $k \in [0, N-1]$ 。原来的信号 $x(n)$ 也可以通过频谱系数合成获取，如(5)式。

$$X[k] = \sum_{n=0}^{N-1} x[n] e^{-j(2\pi/N)kn}, \quad (4)$$

$$x[n] = \frac{1}{N} \sum_{k=0}^{N-1} X[k] e^{j(2\pi/N)kn}. \quad (5)$$

对信号进行快速傅里叶变换处理时，输入信号的时域和频域都是离散的，并且都是有限长。因此必须对实际模拟信号进行采样并在时间上截取一定片段^[6]，然后用离散傅里叶变换算法对信号进行分析。实际信号处理时，快速傅里叶变换作周期性延拓，因为数字终端处理的数据是有限时间段内，而快速傅里叶变换要求时间从负无穷到正无穷的积分。

2 多相滤波器组设计与性能测试

基于通用并行计算架构的射电天文多相滤波器组设计流程如图2。中央处理器和图形处理器协调完成多相滤波，中央处理器负责逻辑控制和串行相关的工作，图形处理器则负责高度并行的数据处理任务。首先中央处理器完成初始化、准备待处理的数据，`cudaMalloc()` 创建图形处理器的内存空间，`cudaMemcpy()` 函数把数据从中央处理器复制到图形处理器显存，然后启动 CUDA kernel 对算法进行并行处理。为了加速算法，提

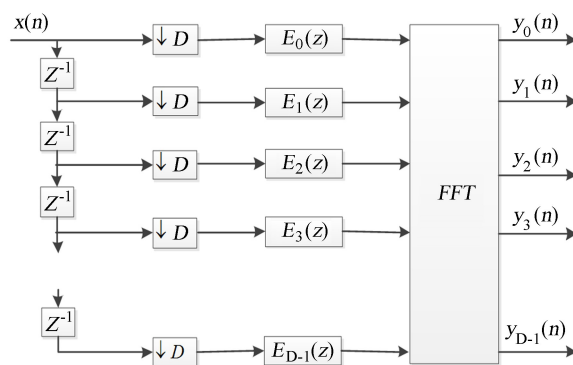


图1 多相滤波器组结构图

Fig. 1 Structure chart of the Polyphase filter bank

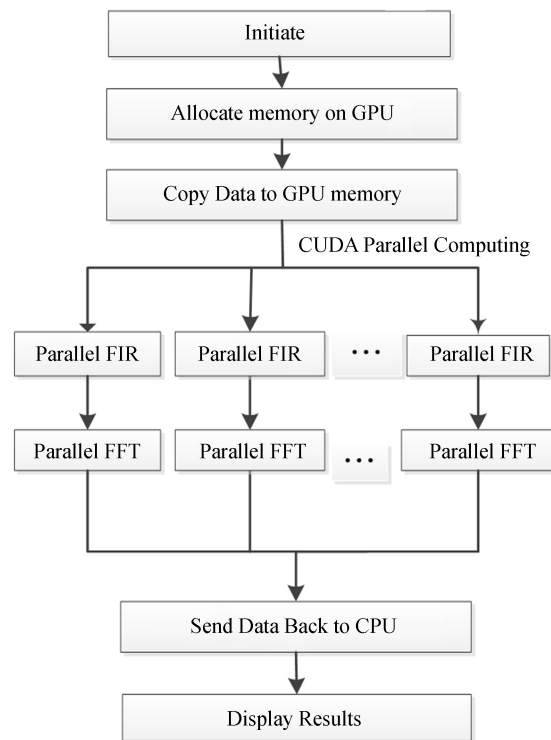


图2 基于通用并行计算架构的多相滤波器组的实现流程图

Fig. 2 Flow chart of the polyphase filter bank implementation based on CUDA

前生成基于窗口函数的多相滤波器组系数，然后将系数传输到图形处理器共享内存，把数据跟多相滤波系数相乘实现有限长单位冲激响应滤波，再进行快速傅里叶变换，最后将数据从图形处理器显存复制到中央处理器内存，显示处理结果。快速傅里叶变换使用通用并行计算架构的 cuFFTLibrary^②，cuFFT 能够快速实现离散傅里叶变换。在设计中使用 cuFFT 的 cufftExecC2C() 函数并行高速实现快速傅里叶变换算法。

cuFFT 是通用并行计算架构快速傅里叶变换库，可大幅提高快速傅里叶变换的速度，速度最高提升 10 倍。cuFFT 提供一个简单的编程接口，能够对复数与实数一维、二维和三维变换，一维变换最大为 1.28 亿个元素，可以单精度和双精度变换，数据布局灵活。

设计中为了减少快速傅里叶变换处理过程的频谱泄露，添加窗口函数对信号进行处理，图 3 是汉明 (Hamming) 窗口的有限长单位冲激响应滤波器脉冲响应及频率响应。

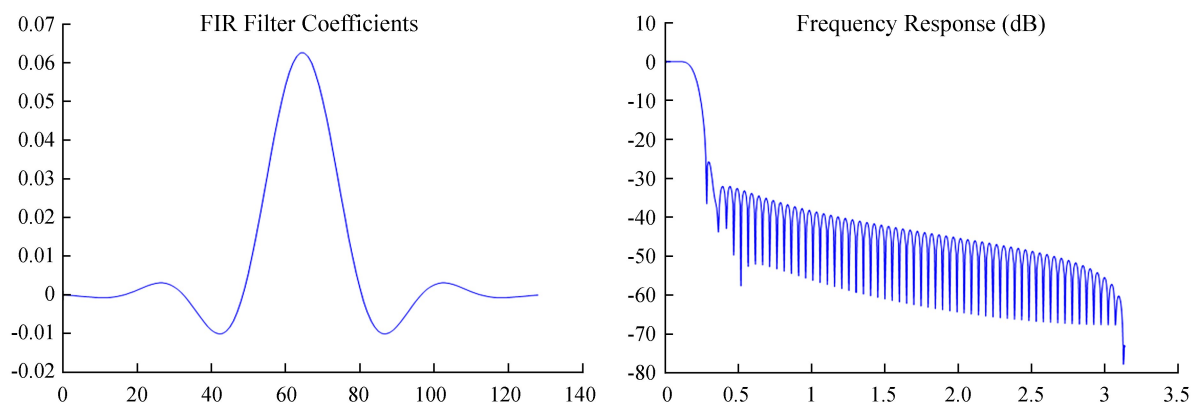


图 3 汉明窗口的有限长单位冲激响应滤波器

Fig. 3 FIR filter based on hamming window

多相滤波器组和普通的快速傅里叶变换相比可以更有效地进行通道化，消除频谱泄露。对 8-Tap、32 通道多相滤波器的仿真结果如图 4、图 5。多相滤波器组通道 $N/2$ 点对称，32 通道的多相滤波器， $32/2=16$ 点对称。

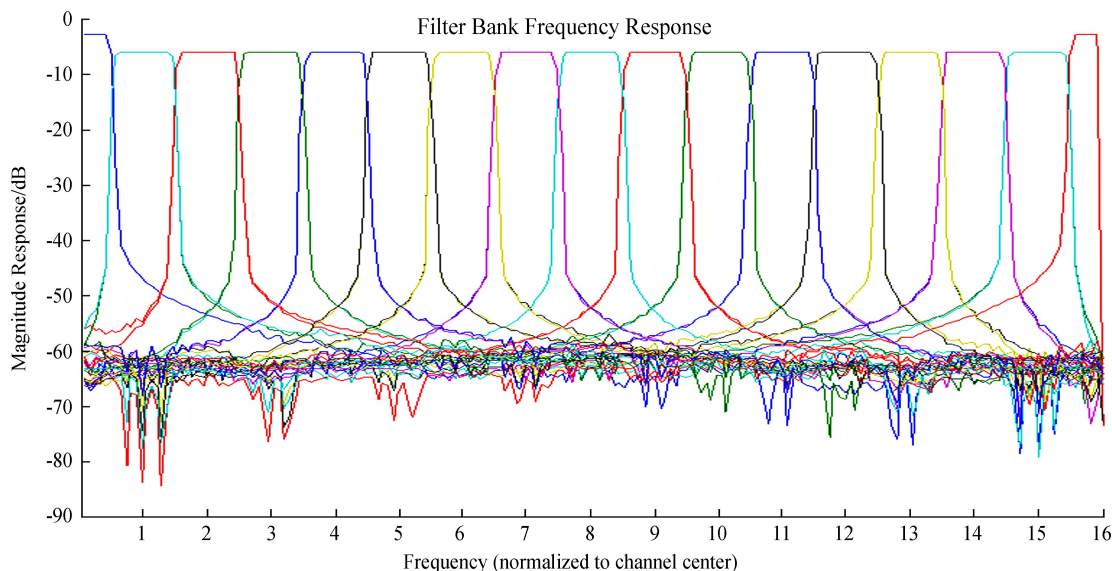


图 4 多相滤波器组频谱响应

Fig. 4 Frequency response of the polyphase filter bank

② <http://docs.nvidia.com/cuda/cufft/#axzz4NhrMoSok>

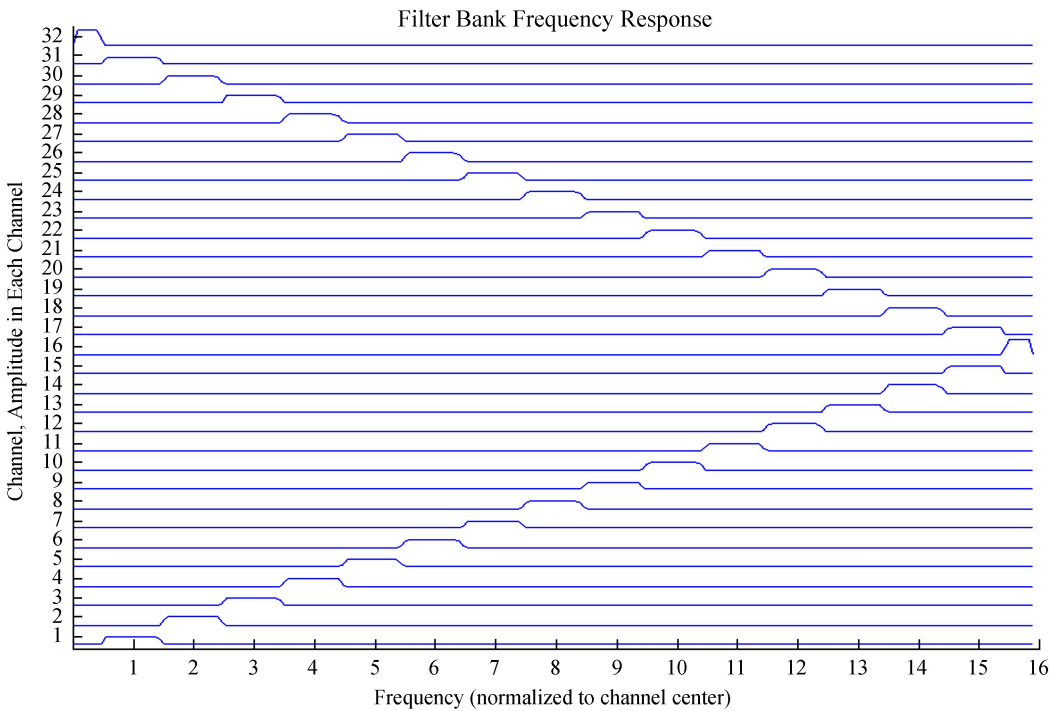


图 5 多相滤波器组通道
Fig. 5 Polyphase filter bank channels

射电天文多相滤波器组的设计、实验和测试环境如表 1，测试中所用的软件和硬件环境包括 Ubuntu 14.04 操作系统，Nsight Eclipse，IntelXeonE5 中央处理器，NVIDIA Quadro K620 图形处理器，8 GB 内存等。

表 1 图形处理器和通用并行计算架构参数表
Table 1 GPU and CUDA parameters

Name	Parameter
Device	Quadro K620
CUDA Driver Version/Runtime Version	7.5/7.5
Total amount of global memory	2 047 Mbytes (2 146 762 752 bytes)
CUDA Cores	384 CUDA Cores
Memory Bus Width	128-bit
Warp size	32
Maximum number of threads per block	1 024
Max dimension size of a thread block (x, y, z)	(1 024, 1 024, 64)
Max dimension size of a grid size (x, y, z)	(2 147 483 647, 65 535, 65 535)
Total amount of shared memory per block	49 152 bytes

为了验证基于通用并行计算架构的射电天文多相滤波器组性能，针对不同通道的多相滤波器组的输出、吞吐量及数据处理消耗时间进行了测试和分析。首先生成 32 MB、采样频率 128 MHz、8 bit 双极化的加噪声复数信号，然后将数据从内存传输到图形处理器中，使用多相滤波器组进行处理。运算中将 8 bit 数据转换为单精度浮点数，每组数据进行多相滤波器及快速傅里叶变换运算，最后将输出数据求平方根，得出能量谱，并从图形处理器传输到内存，显示处理结果。实验中 $\text{tap}=8$ ，使用 6 144 个图形处理器物理线程，实验结果如图 6、图 7。

图 6、图 7 是多相滤波器组通道数 1 K 和 1 024 K 的频谱输出，当 Channel=1 K 时，由于噪声干扰的影响，输出的能量谱不是很理想，但是随着通道数的增加，多相滤波器组的输出分辨率提高，信号检测能力增强。

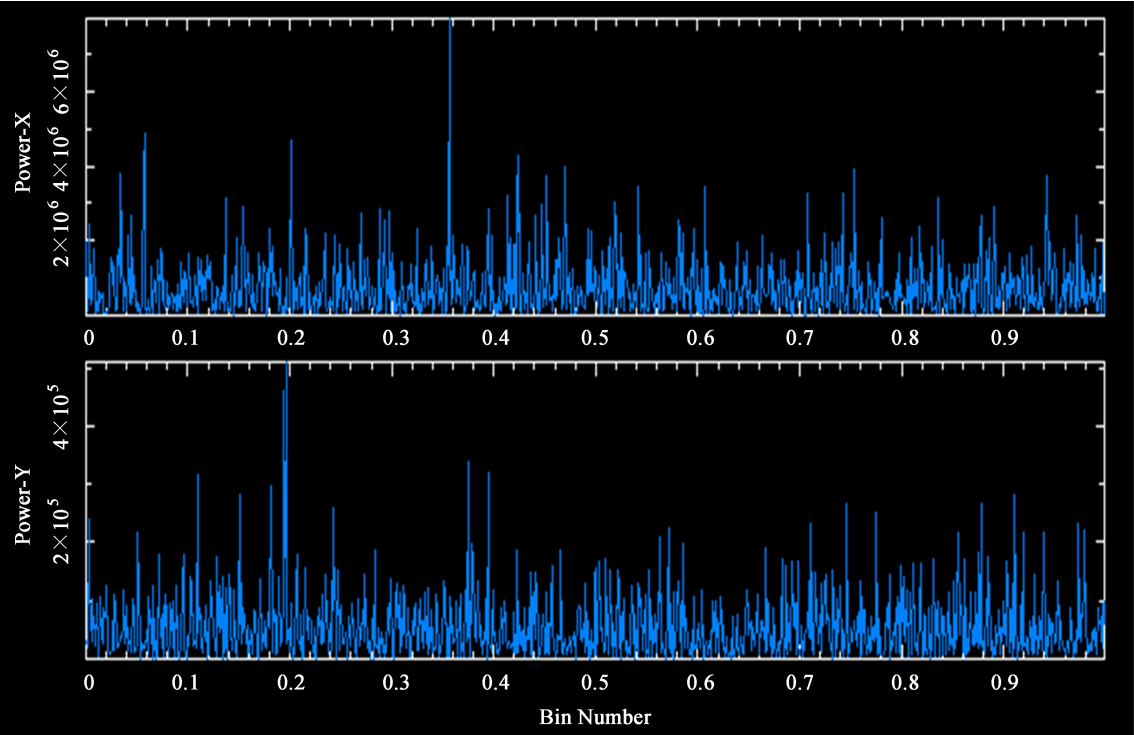


图 6 1 024 通道多相滤波器组输出
Fig. 6 Output of the polyphase filter bank with 1 024 channels

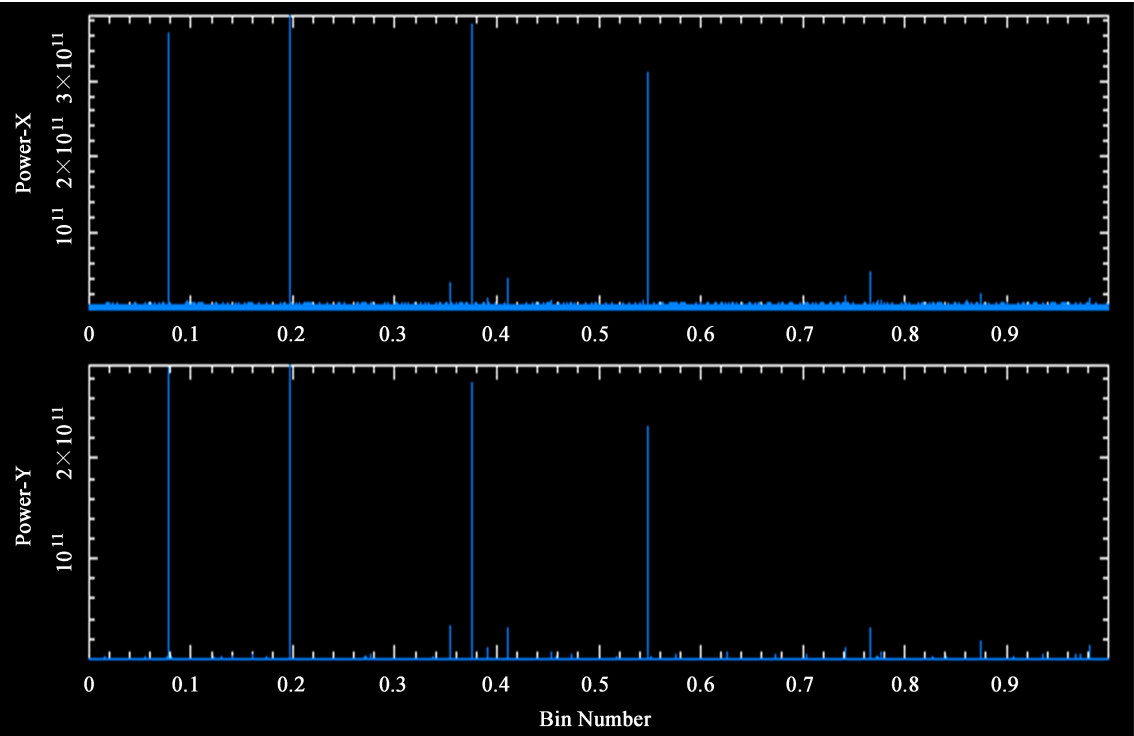


图 7 1 048 576 通道多相滤波器组输出
Fig. 7 Output of the polyphase filter bank with 1 048 576 channels

图 8 是多相滤波器组通道数及吞吐量之间的变化曲线。多相滤波器组的吞吐量随通道数的增加而提高，当通道数量为 65 536 时，吞吐量最高，然后开始下降趋势。

chinaXiv:201711.01344v1

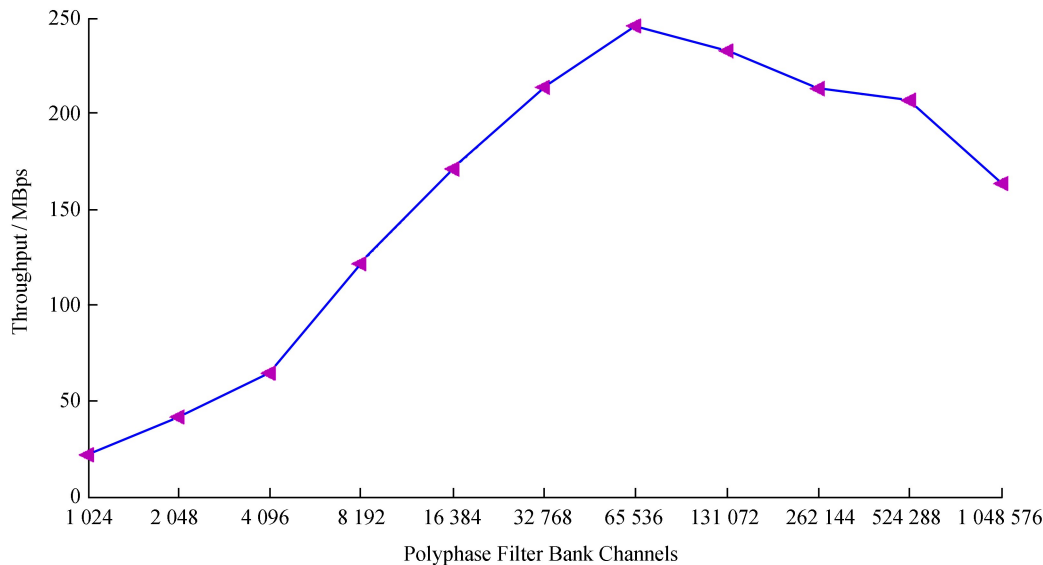


图 8 多相滤波器组通道数和吞吐量的关系

Fig. 8 Throughput capacity variations as a function of channel number

如图 9, 算法在数据传输、多相滤波器及快速傅里叶变换运算处理三方面时间消耗较大。而随着通道数的增加, 多相滤波器组的平均数据处理时间趋势减少。1 K 通道多相滤波器及快速傅里叶变换占用的时间约为 308 ms、580 ms, 当 Channel=1 024 K 时, 它们的数据处理时间分别为 7 ms、13 ms。

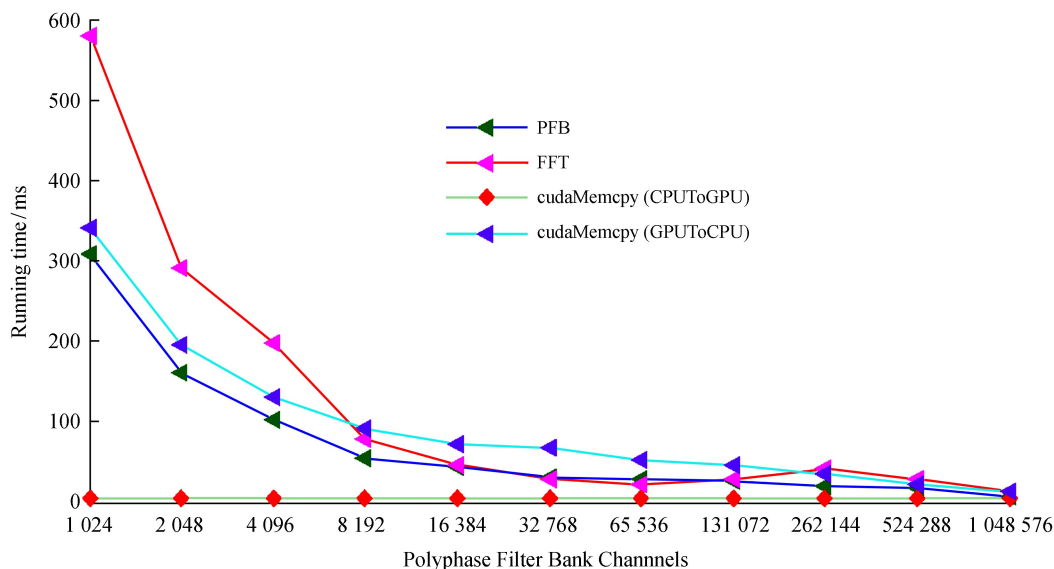


图 9 多相滤波器组通道数和数据处理消耗时间

Fig. 9 Data processing time variations as a function of channel number

多相滤波器组的数据处理主要消耗时间体现在快速傅里叶变换、多相滤波器的运算和将数据从图形处理器显存传输到中央处理器内存的过程中。当通道数为 1 K~16 K 时, 数据处理时间减少趋势明显, 然后减少趋势放缓。实验及测试结果表明, 通用并行计算架构能够高速实现多通道射电天文多相滤波器组。通过通用并行计算架构技术可加速算法, 提高百万通道数的并行处理速度, 该设计能够很好地满足数字终端对信号的信道化与快速处理的需求。

3 结 论

基于通用并行计算架构实现的射电天文多相滤波器组, 充分利用图形处理器的多线程、多核并行

执行能力，大幅提升了滤波器组实时处理性能。针对计算量较大的滤波、快速傅里叶变换算法应用通用并行计算架构编程实现了算法的并行化，并对其吞吐量、数据处理消耗时间及不同通道输出的功率谱进行测试及相关的优化。设计的多相滤波器组易于扩展和升级，采用通用并行计算架构加速多相滤波，提高了算法的计算效率。

参考文献：

- [1] Nickolls J, Buck I, Garland M, et al. Scalable parallel programming with CUDA [J]. Queue, 2008, 6(2): 40–53.
- [2] Ryoo S, Rodrigues C I, Baghsorkhi SS, et al. Optimization principles and application performance evaluation of a multithreaded GPU using CUDA [C] // Proceedings of the 13th ACM SIGPLAN Symposium on Principles and Practice of Parallel Programming. 2008: 73–82.
- [3] 赵欣, 金乘进, 朱岩, 等. 基于多相滤波的多通道数字终端设计 [J]. 天文研究与技术, 2015, 12(4): 495–502.
Zhao Xin, Jin Chengjin, Zhu Yan, et al. A design of a multi-channel digital backend based on a polyphase filter bank [J]. Astronomical Research & Technology, 2015, 12(4): 495–502.
- [4] 朱凯, 甘恒谦, 朱岩, 等. 多相滤波器组谱分析方法的性能讨论与天文观测应用 [J]. 天文研究与技术——国家天文台台刊, 2011, 8(1): 81–90.
Zhu Kai, Gan Hengqian, Zhu Yan, et al. On the performance of spectral analysis with a polyphase filter bank and its application in radio astronomy [J]. Astronomical Research & Technology——Publications of National Astronomical Observatories of China, 2011, 8(1): 81–90.
- [5] 陈宇燕, 郭平. Matlab 辅助 DSP 实现 FIR 数字滤波器 [J]. 轻工科技, 2013, 12: 57–58.
Chen Yuyan, Guo Ping. Matlab aid DSP in approaching FIR digital filter [J]. Light Industry Science and Technology, 2013, 12: 57–58.
- [6] 赵仁才, 颜龙, 郭军. 短波信号实时频谱分析仪设计 [J]. 电子测量技术, 2004, 4: 9–10.
Zhao Rencai, Yan Long, Guo Jun. The design of real-time frequency spectrum analyzer for HF signal [J]. Electronic Measurement Technology, 2004, 4: 9–10.

A Design of Polyphase Filter Bank for Radio Astronomy Based on CUDA

Tohtonur^{1,2}, Zhang Hailong^{1,3}, Wang Jie¹

(1. Xinjiang Astronomical Observatory, Chinese Academy of Sciences, Urumqi 830011, China, Email: zhanghailong@xao.ac.cn;

2. University of Chinese Academy of Sciences, Beijing 100049, China;

3. Key Laboratory of Radio Astronomy, Chinese Academy of Sciences, Nanjing 210008, China)

Abstract: A Polyphase filter bank is designed with the GPU and the latest NVIDIA CUDA parallel architecture for radio astronomy and its performance is tested and analyzed. Both GPU's powerful floating-point calculations and high performance parallel execution capabilities are adopted in this design and they accelerate PFB and FFT algorithms, therefore improve the efficiency of the filter bank. Experiment results show that the polyphase filter bank designed in this paper has certain flexibility and extensibility; it can implement high-speed filtering and high-speed channelization and improve computing efficiency and parallel data processing capability for astronomical digital backend algorithms.

Key words: CUDA; GPU; Polyphase filter banks; Parallel data processing